

دراسة تجانس مواد الأصل لبعض سلاسل مشروع شمال تكريت الزراعي في محافظة صلاح الدين

عبدالسلام مطر حماد
عبدالله عزاوي رشيد
كلية الزراعة / جامعة تكريت
www.salammutar@yahoo.com

٢٨/٤/٢٠٢٢ تاريخ استلام البحث وقبوله

• البحث مستل من أطروحة دكتوراه الباحث الأول.

الخلاصة

تهدف الدراسة الى تحديد تجانس مواد اصل خمسة سلاسل في مشروع شمال تكريت الزراعي اذ تم اختيار خمسة بيدونات وبواقع بيدون واحد لكل سلسلة، تم اختيار ثلاثة معايير لمعرفة تجانس مادة الأصل أولاً نسبة الرمل الناعم جداً / الرمل الكلي ونسبة الرمل الناعم / الرمل الكلي . والمعيار الثالث تم الاعتماد على معيني الكوارتز والزركون لقياس درجة تجانس التربة من خلال قياس الانحراف القياسي عن الوسط تبين من خلال الدراسة ان جميع بيدونات الدراسة متجانسة في مادة اصلها .

A study of the uniformity of the parent materials for some series of the North Tikrit Agricultural Project in Salah Al-Din Governorate

Abdu Salam Mutar Hamad Abdullah Ezawy Rashid

University of Tikrit / College of Agriculture
www.salammutar@yahoo.com

- Date of research received 22/3/2022 and accepted 28/4/2022.
- Part of PhD. dissertation for the first author.

Abstract

The aim of study was to determine the homogeneity of the parent materials in the North Tikrit agricultural project, five calcareous-gypsiferous pedons were selected, , Three criteria were selected to determine the homogeneity of the parent material. First, the ratio of very fine sand / total sand and fine sand / total sand. Quantity of quartz and zircon minerals through the measurement of the standard deviation. The result showed that all study pedons were homogeneous.

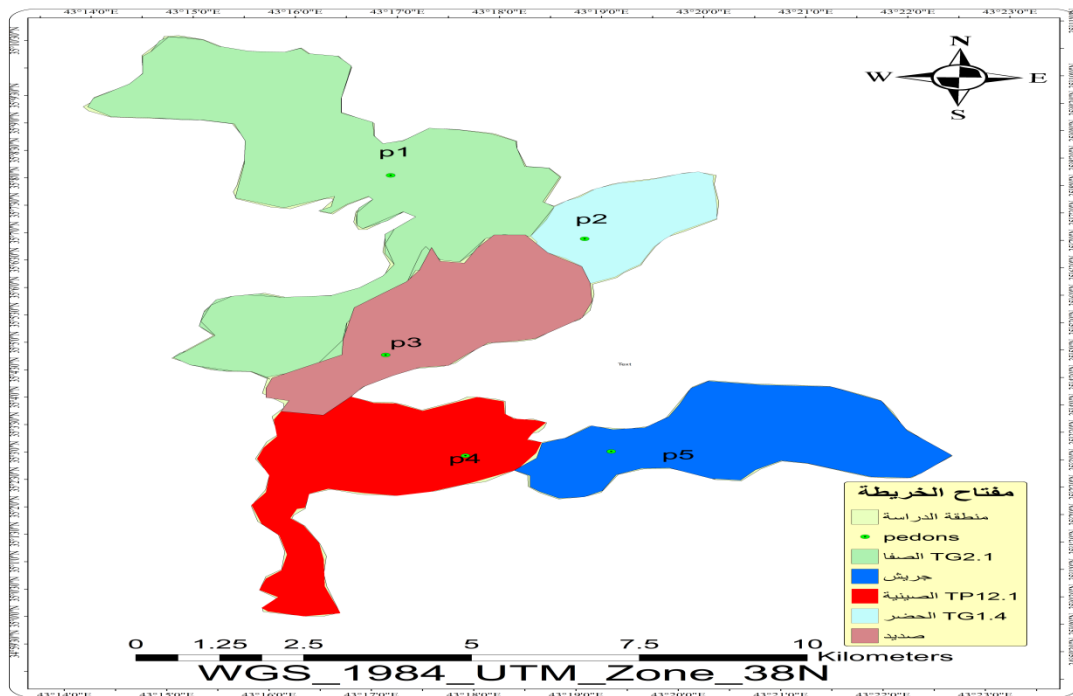
١-المقدمة Introduction

إن الخطوة الأولية لدراسة نشوء الترب وتطورها تكمن في تقدير الحالة البدائية Initial state لمادة التربة قبل تكوينها ، أي تحديد مادة الأصل التي تكونت منها آفاق التربة ومدى تجانسها ، إذ بدون تجانس مادة أصل التربة للأفاق المكونة للبيدون لا يمكن دراسة التغيرات الفيزيائية والكيميائية والمعدنية وقياسها بصورة كمية (Anderson و Schaetzl، 2005). يعد عامل مادة الأصل من العوامل المهمة في تكوين التربة اذ تشكل الهيكل الأساسي للتربة والتي تؤثر في

خصائصها بدرجات مختلفة ويكون تأثيرها واضحاً للمناطق الجافة وخاصة في المراحل الأولى لتكوين وتطور التربة ويستمر هذا التطور إلى أن تصل التربة إلى حالة الاتزان مع ظروف تكوين التربة (Jenny, 1941) ، لذا فإن دراسة تجانس مادة الأصل تعتبر من العمليات الأساسية لتقدير العمليات البيوجينية . أشار (Schaetzl, 1998) إلى أن الانقطاع الليثولوجي في افق التربة وعدم تجانس مادة الأصل نتيجة للتغيرات في الظروف الفيزيائية أو القوى العاملة في الترسيب المائي أو الريحي مما ينعكس على تغير شكل المنظور الأرضي وطوبوغرافية المنطقة ، و معيار التجانس (Uniformity Value (U.V) أحد أهم المعايير المستخدمة لدراسة توزيع وتجانس مفصولات التربة الصلبة (غير المتحركة) ممثلة بالرمل والغرين بدرجة رئيسية ، وفي هذا السياق أكد (Asady and whiteside, 1986) أن النسبة بين الرمل الناعم/الرمل الكلي يعطي دليل واضح على مدى تجانس مادة الأصل من خلال ثبات هذه النسبة في جميع افاق التربة . فيما أكد كل من (Evans & Adams, 1975) امكانية استخدام الكوارتز في تحديد تجانس مواد الأصل للترب وتوصلاً إلى أنه في حالة كون الانحراف القياسي عن الوسط الحسابي بين افاق البيدون الواحد أقل من (٢١ %) فإن ذلك دليل على تجانس مواد الأصل لأفاق ذلك البيدون ، وإن التوزيع الحاصل للمعادن المقاومة للتجوية داخل جسم التربة يستخدم لوصف العلاقة بين العمليات الجيولوجية والبيولوجية، (Barshad, 1965 و Brewer, 1976 و Tueller و آخرون 1987).

٢- المواد وطرق العمل .Material and methods

تقع منطقة الدراسة (مشروع شمال تكريت الزراعي) ضمن حدود المناخ الجاف الذي يتصرف بقلة الأمطار بمعدل سنوي ١٢٩,٢ خالل عشرون سنة ، نظام التربة الحراري soil temperature regieme و يقع ضمن الصنف الحر جداً hyper Themic و النظام الرطوب hyper Themic و regieme يقع ضمن الصنف الجاف (Aridic) (المركز الوطني للموارد المائية، ٢٠١٠). تميز أراضي منطقة الدراسة بأنها جبسية-كلسية و قلة الغطاء النباتي والظروف الصحراوية الجافة . بهدف دراسة تشخيص تجانس مواد أصل الأراضي لبعض سلاسل مشروع شمال تكريت الزراعي تم اختيار خمسة سلاسل و يواقع ببيدون واحد لكل سلسلة وهي سلسلة الصفا المتمثلة بـ بـ p₁ و سلسلة الحضر المتمثلة بـ بـ p₂ و سلسلة صيد المتمثلة بـ بـ p₃ و سلسلة الصينية المتمثلة بـ بـ p₄ و سلسلة جريش المتمثلة بـ بـ p₅ تقع بين خط طول (35°4'75"-35°0'49") شرقاً و دائرة عرض (41°15'0" - 43°21'85") تمت زيارة واستطلاع منطقة الدراسة لجمع المعلومات وأخذ نماذج التربة، تم تثبيت المعلومات الأولية وادايتها لغرض دراسة حالة التجانس لمادة الأصل للسلاسل المختارة باستخدام برنامج GIS10.8 مع تدوين كافة المعلومات الوصفية والمخبرية وخذلها في الحاسوب لاستخدام هذه البيانات لاحقاً. تم استحصل نماذج تربة مثارة وغير مثارة من الأفاق المكونة لكل بـ بـ p_i ، ووضعت في أكياس بلاستيكية لأغراض التحليلات المختبرية. الجدول (١) والخريطة (١) يبيان موقع بـ بـ p_i و الخارطة الطوبوغرافية وادايتها .



الشكل (١) خريطة تبين موقع بيدونات وسلسل الدراسة

ت	السلسلة	السلسلة	البيدون	longitude	Latitude
١	الصفا	TG 2.1	P ₁	43° 16' 59.703" E	35° 8' 5.699" N
٢	الحضر	TG 1.4	P ₂	43° 18' 58.950" E	35° 7' 2.242" N
٣	صدید	CMG7.1	P ₃	43° 18' 7.892" E	35° 6' 5.914" N
٤	الصينيه	TP12.1	P ₄	43° 17' 18.758" E	35° 2' 59.201" N
٥	جريش	TT 11.1	P ₅	43° 20' 59.302" E	35° 3' 42.612" N

الجدول (١) يمثل موقع احداثيات بيدونات الدراسة

اولا/التقديرات الفيزيائية للتربة :

١-التوزيع الحجمي لمفصولات التربه
Particle size distribution

تم تقييم توزيع الحجمي لمفصولات التربه بطريقة الماصة
الموصوفة من قبل (Day, 1965) ، وعن طريق استخدام طريق الماصة تم تقدير
مفصولات الغرين والرمل الى مفصولات خشنة ومتوسطة وناعمة.

٢- الكثافة الظاهرية

تقدير الكثافة الظاهرية باستخدام طريقة (Core Method) الموصوفة في (Blake , 1965) . ثانياً/ تقدير الصفات الكيميائية للتربة:

١- قياس الاصالية الكهربائية لمستخلص عينة تربة مع الماء المقطر (النسبة ١:١) باستعمال جهاز قياس الاصالية الكهربائية EC وفقاً للطريقة الموصوفة في (Richards , 1954)

٢- قياس الأس الهيدروجيني pH في مستخلص عينة تربة مع الماء المقطر (النسبة ١:١) على وفق ما ورد في (Richards) (١٩٥٤).

٣- تقدير المادة العضوية Organic Matter على وفق طريقة Walkely and Black المذكورة في (Jackson) (1958) .

٤- تقدير السعة التبادلية للأيونات الموجبة CEC بطريقة التسحيف حسب طريقة savant (١٩٩٤) .

٥- تقدير معادن الكاربونات(كاربونات الكالسيوم) في التربه بجهاز الكالسيميتر Calcemeter واساس الطريقة هو حساب حجم ثاني اوكسيد الكاربون من تفاعل حامض الهيدروكلوريك المخفف ٣ عياري مع الكاربونات (Hesse, 1972)

٦- قدرت كبريتات الكالسيوم (الجبس Gypsum) عن طريق الاستخلاص بالماء المقطر وذلك باختيار نسبة تخفيف مناسبة تربة وماء على وفق الطريقة المذكورة في (Richards 1954) .

٧- حسبت النسبة المئوية للصوديوم المتبادل (ESP) Exchangeable Sodium Percentage: قدرت كما ورد في (Richard 1954) وحسب العلاقة الآتية:

$$ESP = \frac{100 (-0.0126 + 0.01475 SAR)}{1 + (-0.0126 + 0.01475 SAR)} \quad (1)$$

ثالثاً- التقديرات المعدنية :-

١- جرى التخلص من المواد الرابطة لنماذج التربه وكل افق من افاق البيدونات المدروسة كما ورد في (Black et al 1965) . جرى فصل الرمل الناعم جداً بالنخل الرطب باستخدام منخل قطر فتحاته ٥٠ ميكرون .

٢- اخذ وزن (١) غم من الرمل الناعم جداً (٥٠-١٠٠ m) قمع الفصل Separating Funnel وباستعمال سائل البروموفورم (CHBr₃) Bromoform وزنه النوعي (٢.٨٣) لغرض فصل المعادن الخفيفة Light Minerals عن المعادن الثقيلة Heavy Minerals .

٣- تشخيص وتقدير معادن الرمل الخفيفة أو الثقيلة لكل شريحة زجاجية بواسطة المجهر الضوئي المستقطب طبقاً إلى (Milner, 1962) و (Keer, 1959) .

٢- النتائج والمناقشه Results and Discussions

١- التوزيع الحجمي لدقائق التربه

بينت النتائج في الجدول (٢) التوزيع الحجمي لبيدونات ترب مناطق الدراسة الى طبيعة التوزيع الحجمي لمفصولات التربه حسب السيادة : الرمل > الغرين > الطين اعلى نسبة كانت لمفصول الرمل كانت في P1 لسلسلة الصفا ضمن الأفق A₁₂ حيث بلغت 847.59 غم . كغم⁻¹ تربة واقل نسبة كانت في الأفق A₁₁ من P₄ اذ بلغت 564.86 غم . كغم⁻¹ تربة،في سلسلة الصينيه بينما بلغت اعلى نسبة لمفصول الغرين 330.03 غم . كغم⁻¹ تربة في الأفق A₁₁ من P₄ واقل

نسبة 26.07 غم.كغم⁻¹ رقم P₁ لسلسلة الصفا ضمن الأفق A₁₂ ، وكانت أعلى نسبة لمفصول الطين عند الأفق C_k وبلغت 161.36 غم.كغم⁻¹ تربة في P₂ لسلسلة الحضر ، بينما أقل قيمه للطين 32.54 غم.كغم⁻¹ في P₁ لسلسلة الصفا ، تراوحت النسبة بين المزيجة الرملية والغربينة المزيجة - والمزيجة، اما الكثافة الظاهرية فقد بلغت أعلى قيمة 1.82 في الأفق C_{ky} لسلسلة الحضر في البيدون p₂ وكانت أقل قيمه 1.19 بيدون p₄ الأفق A₁₂ لسلسلة الصينية.

الخصائص الكيميائية Chemical characteristics

أظهرت نتائج التحاليل المختبرية لبعض الخصائص الكيميائية لبيدونات ترب منطقة الدراسة في الجدول (٣) أن درجة تفاعل التربة (pH) لعموم بيدونات موقع الترب المدروسة تراوحت ما بين (7.14 - 7.88) وهذا يتفق مع ما أشار اليه الباحثين العراقيين ، اذ أكد (Zubadi ١٩٧٤) ان درجة تفاعل الترب العراقية متعادلة الى واطئة القاعدية، أعلى درجة تفاعل للتربة 7.88 لليبيدون P₁ في الأفق C_{ky} لسلسلة الصفا ، بينما أقل قيمة كانت 7.14 لتفاعل التربة عند الأفق C_{K3} لليبيدون P₄ في سلسلة، اما الإيصالبيـة الكهربائية التي تراوحت بين 1.18 - 24.22 ديسى سيمنز.م⁻¹ لجميع افاق ترب سلاسل الدراسة ، ويلاحظ أن قيم الإيصالبيـة الكهربائية كانت في ذروتها ضمن البيدون رقم P₄ للأفق A_P في p₅ لسلسلة جريش تكون هذا الأفق مستغل زراعيا وتشير النتائج في الجداول الى ان أعلى قيمة للمادة العضوية 1.09 غم.كغم⁻¹ كانت ضمن سلسلة الحضر لبيدون p₂ في الأفق A ، واقل نسبه 0.29 غم.كغم⁻¹ كانت في البيدون p₄ في سلسلة الصينية للأفق C_{K3} العمق وتقل نسبة المادة العضوية مع العمق حتى تصبح قليلة جدا في الطبقات تحت السطحية العميقـة. ويعزى هذا الى الظروف المناخية الجافة وقلة الغطاء النباتي وارتفاع تحـلـ وفقدان المخلفات العضوية. بينما بلغت السعة التبادلية الكاتيونـية بين (5.20 - 16.93) سنتمول.شحنة.كغم⁻¹ لبيدون P₄ في الأفق A₁₁ و P₃ في الأفق C_{K2} لسلسلة الصينية وصـدـيد على التـوـالي وقد يعود السـبـبـ في ارتفاع قـيمـ السـعـةـ التـبـادـلـيـةـ الكـاتـيـوـنـيـةـ لـلـأـفـاقـ السـطـحـيـةـ عـنـ مـثـلـاتـهاـ فـيـ الـأـفـاقـ الأـخـرـىـ إـلـىـ الـزـيـادـةـ النـسـبـيـةـ لـلـمـادـةـ العـضـوـيـةـ ،ـ كـمـ أـشـارـ إـلـىـ ذـلـكـ Sayegh et al.(1978) و هـزـاعـ ،ـ البرـزـنجـيـ وـآخـرـونـ ،ـ (1986) ،ـ وـبـلـغـتـ نـسـبـةـ الجـبـسـ بـيـنـ (19.21ـ فـيـ Pـ4ـ فـيـ الـأـفـقـ Aـ11ـ إـلـىـ 53.87ـ فـيـ بـيـدونـ Pـ3ـ فـيـ الـأـفـقـ Cـkـ1ـ)ـ غـمـ.كـغمـ⁻¹ـ لـسـلـسـلـةـ الصـيـنـيـةـ وـصـدـيدـ عـلـىـ التـوـالـيـ وقدـ يـعـودـ سـبـبـ انـخـفـاضـ نـسـبـ الجـبـسـ فـيـ الـأـفـقـ السـطـحـيـةـ إـلـىـ غـسلـهـ بـفـعـلـ مـيـاهـ الـرـيـ أوـ الـأـمـطـارـ وـإـعادـةـ تـرسـيـبـهـ فـيـ الـأـفـقـ تـحـتـ السـطـحـيـةـ مـاـ فـضـلـاـ عـنـ تـاثـيرـ مـادـةـ الأـصـلـ فـيـ زـيـادـةـ قـيمـ الجـبـسـ ،ـ بـيـنـماـ اـعـلـىـ قـيمـةـ فـيـ نـسـبـةـ الـكـلـسـ 385.11ـ غـمـ.كـغمـ⁻¹ـ فـيـ الـأـفـقـ Cـkـ2ـ فـيـ لـسـلـسـلـةـ الحـضـرـ ،ـ وـأـقـلـ قـيمـةـ (90.15)ـ غـمـ.كـغمـ⁻¹ـ فـيـ Pـ4ـ لـسـلـسـلـةـ الصـيـنـيـةـ ضـمـنـ الـأـفـقـ Aـ11ـ ،ـ لـوـحـظـ زـيـادـةـ الـكـلـسـ فـيـ الـأـفـقـ تـحـتـ السـطـحـيـةـ العـمـيـقـةـ وـهـذـاـ مـؤـسـرـ لـتـأـثـيرـ مـادـةـ الـأـصـلـ الـكـلـسـيـةـ فـيـ اـرـتـقـاعـ قـيمـ كـارـبـونـاتـ الـكـالـسيـوـمـ ،ـ وـبـلـغـتـ اـعـلـىـ نـسـبـةـ لـلـصـوـدـيـوـمـ الـمـتـبـادـلـ (9.78)ـ لـلـأـفـقـ Cـkـ2ـ فـيـ Pـ5ـ وـأـقـلـ نـسـبـهـ بـلـغـتـ 4.21ـ أـفـقـ CـKـ1ـ فـيـ Pـ5ـ وـبـالـرـغـمـ مـنـ ذـلـكـ فـهـيـ لـاـ تـعـدـ قـلـوـيـةـ كـوـنـ قـيمـ درـجـةـ التـفـاعـلـ أـقـلـ مـنـ ٨.٥ـ وـنـسـبـةـ الصـوـدـيـوـمـ الـمـتـبـادـلـ أـقـلـ مـنـ ١٥ـ %ـ وـقـدـ وـافـقـتـ هـذـهـ النـتـائـجـ مـعـ نـتـائـجـ العـكـيـديـ وـالـطـائـيـ (٢٠٠٢)ـ وـالـبـيـاتـيـ (٢٠١٠).

الكثافة الظاهرية ميكاغرام.م. ⁻¹	النسبة											العمر cm	الافق البيون	سلسلة الصفا		
		طين gm.kg ⁻¹	*gm.kg ⁻¹ الغرين				*gm.kg ⁻¹ الرمل									
			أوزن الكلي	f.	m.	c.	Total	v.f. s	f.s	m.s	c.s	v.c.s				
1.29	LS	32.54	201.20	110.51	71.17	11.52	754.56	249.01	460.57	41.95	2.0	1.3	0-12	A ₁₁	P ₁	
1.54	SL	151.14	26.07	40.42	33.89	50.76	847.59	250.23	420.6	171.38	3.38	2	12-25	A ₁₂		
1.44	SL	33.1	22.77	10.34	11.57	12.86	736.65	242.52	47.24	64.61	2.46	1.7	25-70	C _{k1}		
1.60	LS	33.26	245.54	94.41	109.49	41.64	722.21	246.61	411.56	59.01	4.54	0.74	70-110	C _{k2}		
1.20	SL	120.33	171.07	97.42	35.89	37.76	708.59	251.23	427.38	16.04	10.38	3.56	0-10	A	P ₂	
1.33	SL	135.14	89.91	25.12	18.15	46.64	774.96	253.02	409.85	104.26	4.45	3.38	10- 30	B _K		
1.42	SL	161.36	121.02	60.51	20.17	40.34	717.62	239.71	386.75	88.74	1.41	1.01	30 – 65	C _k		
1.82	SL	144.90	103.94	71.89	25.43	6.62	751.16	250.69	414.34	82.49	1.25	1.39	65 -109	C _{kY}		
1.28	SL	100.97	134.50	65.51	50.47	18.52	764.53	249.01	466.95	43.46	3.0	2.11	0-9	A	P ₃	
1.39	LS	64.14	144.56	95.78	8.91	39.87	791.30	225.41	516.30	44.7	2.05	3.47	9-33	B _K		
1.55	SL	125.85	71.58	63.55	5.73	2.30	802.56	188.27	538.06	68.81	5.01	2.14	33-68	C _{k1}		
1.66	LS	36.52	148.34	124.49	6.70	17.15	815.13	232.35	537.31	41.46	1.05	2.98	68-112	C _{k2}		
1.20	SL	105.10	330.03	164.25	96.36	69.42	564.86	210.53	285.84	53.98	9.07	5.44	0 – 5	A ₁₁	P ₄	
1.19	SL	75.77	202.91	150.82	37.96	14.13	721.31	257.44	425.53	41.49	1.35	0.0	5 -17	A ₁₂		
1.32	SL	51.77	314.28	272.51	32.88	8.89	633.95	260.40	339.17	31.99	1.72	0.67	17 – 33	C _{K1}		
1.65	SL	40.77	320.28	275.51	35.88	8.89	638.95	262.30	342.32	31.94	1.82	0.57	33 – 52	C _{K2}		
1.55	LS	37.38	228.44	159.44	41.865	28.635	733.68	230.03	461.55	38.19	3.905	0.0	52 - 110	C _{K3}	P ₅	
1.20	SL	87.10	238.0	66.25	99.36	71.42	674.8	263.53	285.84	110.98	9.07	5.44	0-8	A _P		
1.48	SL	101.97	290.5	131.49	125.69	33.40	608.3	214.86	182.78	114.27	3.17	3.3	8-16	C _K		
1.62	SL	149.13	114.48	67.2	23.8	23.48	736.39	245.7	400.54	84.925	3.33	1.39	16-55	C ₁		
1.58	SL	78.89	183.45	85.05	79.2	19.215	737.65	342.57	195.67	141.94	7.8	4.66	55-111	C ₂		

الجدول (٢) الصفات الفيزيائية لدقائق ترب سلاسل الدراسة

اولا- التوزيع الحجمي للدقائق غير الطينية بالتربة .

تم الاعتماد على التوزيع العمودي لنسبة الرمل الناعم جدا / الرمل الكلي ، والرمل الناعم / الرمل الكلي ، مع العمق من أجل معرفة طبيعة درجة تجانس مادة اصل التربة بالاعتماد الى ما اشار اليه Barshad وكل من (١٩٦٩) في كون مفصولات الرمل الناعم تعد غير متحركة وتتأثر قليلا بعمليات تكوين التربة، فقد اختبرت نسبة مفصولات الرمل الناعم جدا (٠.٠٥ - ٠.١ ملم) الى الرمل الكلي (٢ - ٠.٠٥ ملم) و الرمل الناعم (٠.٠١٢٥ - ٠.٢٥ ملم) الى الرمل الكلي (٠.٥٠ - ٠.٢٠ ملم) لكل افق من الافاق المكونة لبيدونات الدراسة وكما هو مبين في الجدول (٤) حيث اشارت النتائج الى ان النسبة بين الرمل الناعم جدا الرمل الكلي كانت (٠.٢٣ - ٠.٤٦) في البيدون ٣ لسلسلة صديد في الافق C_1 والبيدون ٥ لسلسلة جريش في الافق C_2 على التوالي ، بينما بلغت النسبة بين الرمل الناعم \ الرمل الكلي كانت (٠.٢٧ - ٠.٦٧) في البيدون ٥ لسلسلة جريش في الافق C_2 والبيدون ٣ لسلسلة صديد في الافق C_1 على التوالي . ان هذه النسب تقع ضمن مدى قيم التجانس التي حددها الراوي ،(٢٠٠٣) والتي تراوحت بين (٠.١٧ - ٠.٨٣) ، يمكن تفسير سلوك توزيع الرمل غير المنظم مع العمق الى تباين تأثير عوامل و عمليات تكوين التربة التي تؤثر في توزيع مفصولات التربة خاصة الناعمة منها فضلا عن العوامل الجيولوجية والتي أهمها التعرية الريحية والمائية.

ثانيا-التوزيع الحجمي لحبوبات المعادن المقاومة للتتجوية :-

تعد طريقة التوزيع الحجمي لحبوبات المعادن المقاومة للتتجوية مع العمق ، من أهم الطرائق وادقها في تحديد تجانس مادة اصل الترب أو عدمه (Brewer, ١٩٧٦). ، تم تقدير النسبة المئوية لمعدن الكوارتز والزركون كما في الجدول (٥) تراوحت قيم الكوارتز بين ٢٥.٠٠ % في الافق A_P للبيدون P_5 لسلسلة جريش و ٤٧.١٢ % في الافق A_{11} للبيدون P_1 لسلسلة الصفا، ان سلوك توزيع الكوارتز مع العمق تقريبا لم يبد تغايرا كبيرا على طول قطاع البيدونات ويلاحظ زيادة طفيفة له مع العمق في البيدونات P_5, P_3 بينما اظهر انخفاضا قليلا مع العمق او شبه متجانس في البيدونات P_4, P_2, P_1 بينما تراوحت قيم الزركون بين ١٣.٨٦ % في الافق A_{11} بيدون P_4 في سلسلة الصينية و الافق A للبيدون P_2 الى ٤.٤٣ % في سلسلة الحضر. ان ارتفاع وتذبذب قيم الكوارتز والزركون في بيدونات الدراسة يعود أساسا الى كون مادة الأصل الجسيئ الكلسية الخشنة هي المصدر الأساسي.

الجدول (٣) الصفات الكيميائية لتراب سلاسل الدراسة

ESP	الكلس gm. Kg ⁻¹	الجيس gm. Kg ⁻¹	CEC Cmol.kg ⁻¹	O.M gm.kg ⁻¹	E.C ds.m ⁻¹	PH	العمق cm	النفاذ ك	المجموع
8.94	172.23	19.88	16.9	2.77	2.62	7.28	0-12	A ₁₁	P1
8.89	181.00	23.25	14.9	2.69	3.48	7.20	12-25	A ₁₂	
9.32	164.65	21.33	11.2	2.43	3.71	7.22	25-70	C _{k1}	
9.21	282.27	20.30	13.3	2.42	4.01	7.88	70-110	C _{k2}	
8.39	135.5	33.23	8.5	2.97	16.41	7.78	0-10	A	
8.35	173.22	45.57	10.00	2.68	16.46	7.33	10- 30	B _K	P2
9.36	385.11	52.98	5.6	2.59	18.96	7.65	30 – 65	C _k	
9.78	219.45	338.5	9.10	2.9	19.54	7.45	65 -109	C _{kY}	
8.62	142.15.	40.22	15.91	2.74	18.62	7.67	0-9	A	
8.92	172 .43	42.34	11.23	2.68	19.48	7.48	9-33	B _K	P3
9.24	289.73	53.87	8.12	2.59	13.20	7.81	33-68	C _{k1}	
9.52	351.22	27.74	5.20	2.47	15.50	7.70	68-112	C _{k2}	
8.33	90.15	19 .21	16.93	2.74	22.32	7.61	0 – 5	A ₁₁	
8.16	120.00	23 .91	11.21	2.7	22.88	7.41	5 -17	A ₁₂	P4
9.18	281.2	21 .32	13.32	2.6	23.12	7.37	17 – 33	C _{K1}	
9.12	364.41	20 .32	10.21	2.54	24.22	7.33	33 – 52	C _{K2}	
9.97	382.25	26 .23	8.29	2.17	23.92	7.14	52 - 110	C _{K3}	
8.30	122.32	20.21	12.29	2.83	1.18	7.18	0-8	A _P	P5
8.77	221.13	22.11	4.21	2.68	2.62	7.22	8-16	C _{K1}	
9.98	232.12	32.23	11.5	2.65	3.51	7.31	16-55	C _{k2}	
8.66	206.21	30.22	8.3	2.52	3.85	7.19	55-111	C _{k3}	

الجدول (4) (الرمل الناعم جدا / الرمل الكلي) و(الرمل الناعم / الرمل الكلي) لسلسلة الدراسة

السلسلة	البيدون	P ₁	P ₂	P ₃	P ₄	P ₅
الصفا	الرمل الناعم جدا	الرمل الكلي	الرمل الكلي	الرمل الناعم جدا	الرمل الناعم	العمق cm
	0.61	0.33	754.56	249.01	460.57	0-12 A ₁₁
	0.61	0.36	705.59	254.23	427.6	12-25 A ₁₂
	0.63	0.33	736.65	242.52	477.24	25-70 C ₁
الحضر	0.57	0.34	722.21	246.61	411.56	70-110 C ₂
	0.60	0.35	708.59	251.23	427.38	0-10 A
	0.53	0.33	774.96	253.02	409.85	10- 30 B _K
	0.54	0.33	717.62	239.71	386.75	30 – 65 C _k
صديد	0.55	0.33	751.16	250.69	414.34	65 -109 C _Y
	0.61	0.33	764.53	249.01	466.95	0-9 A
	0.65	0.28	791.3	225.41	516.3	9-33 B _K
	0.67	0.23	802.56	188.27	538.06	33-68 C ₁
الصينية	0.66	0.29	815.13	232.35	537.31	68-112 C ₂
	0.51	0.37	564.86	210.53	285.84	0 – 5 A ₁₁
	0.59	0.36	721.31	257.44	425.53	5 -17 A ₁₂
	0.54	0.41	633.95	260.40	339.17	17 – 33 C _{K1}
جريش	0.54	0.41	638.95	262.30	342.32	33 – 52 C _{K2}
	0.63	0.31	733.685	230.04	461.56	52 - 110 C _{K3}
	0.42	0.39	674.86	263.53	285.84	0-8 A _P
	0.30	0.35	608.38	214.86	182.78	8-16 C _K
	0.54	0.33	736.39	245.7	400.54 ₅	16-55 C ₁
	0.27	0.46	737.65	342.57	195.67 ₅	55-111 C ₂

الجدول (٥) النسب المئوية للمعادن الخفيفة لمعدني الكوارتز والزركون في مفصول الرمل الناعم جداً لتراب الدراسة

Zircon	Quartz	cm العمق	الافق	البيدون	السلسلة
12.32	47.12	0-12	A ₁₁	P ₁	الصفا
11.12	40.13	12-25	A ₁₂		
12.19	45.00	25-70	C ₁		
10.37	38.29	70-110	C ₂		
8.520	41.07	0-10	A	P ₂	الحضر
10.9	35.26	10- 30	B _K		
9.60	42.21	30 – 65	C		
12.54	34.98	65 -109	C _Y		
11.23	43.59	0-9	A	P ₃	صديد
13.23	45.43	9-33	B _K		
10.95	44.22	33-68	C ₁		
12.66	25.00	68-112	C ₂		
13.86	32.76	0 – 5	A ₁₁	p4	لصينيه
11.3	39.08	5 -17	A ₁₂		
13.69	43.59	17 – 33	C _{K1}		
11.73	45.43	33 – 52	C _{K2}		
9.23	44.22	52-110	C _{K3}	p5	جريش
8.522	25.00	0-8	A _P		
10.9	41.48	8-16	C _K		
9.60	39.91	16-55	C ₁		
12.54	33.86	55-111	C ₂		

السلسلة	البيدون	مقاييس التشتت	الكوارتز%	الزركون%
الصفا	P ₁	المتوسط	42.64	12.33
		الانحراف القياسي	4.12	1.05
		معامل التغاير(التشتت)	9.66	8.52
الحضر	P ₂	المتوسط	38.38	10.39
		الانحراف القياسي	3.80	1.73
		معامل التغاير(التشتت)	9.89	16.65
صديد.	P ₃	المتوسط	39.56	11.95
		الانحراف القياسي	9.74	1.06
		معامل التغاير(التشتت)	24.61	8.87
الصينية	P ₄	المتوسط	39.21	11.45
		الانحراف القياسي	8.24	1.51
		معامل التغاير(التشتت)	21.01	13.19
جريش	P ₅	المتوسط	38.36	10.39
		الانحراف القياسي	4.98	1.73
		معامل التغاير(التشتت)	12.98	16.65

استخدام معامل التجانس (U_c)

ان استخدام المفصولات غير الطينية في تحديد تجانس مواد الاصل يعطي نتائج افضل مقارنة بالمفصولات الطينية وذلك بسبب سيادة هذه المفصولات في بيدونات الدراسة وسهولة تقديرها مما يقلل الخطأ التجريبي. لتحديد تجانس مواد الاصل تم اعتماد معايير الانقطاع الليثولوجي لغرض المقارنة وقد تم حسابه من خلال المعادلات المقترحة من قبل Asady and Whiteside (1986) و Schaetzl (1998) . تشير النتائج في الجدول (7) الى وجود تباين في حالات انقطاع المعادلات اذ أظهرت النتائج انقطاعات بين الأفاق A_{11} / A_{12} في C_{k1}/C_{k2} في P_1 ، و A/B_K و C_y في P_2 ، و B_K/C_{K1} في P_3 ، و A_{11} / A_{12} في P_4 ، و C_1 / C_K في P_5 للمعادلات الثلاث ، ويعود سبب عدم وضوح الأفاق وملحوظتها ميدانيا كما أشار اليه الراوي ،(2005) الى ترببات طبقات رقيقة من المفصولات الناعمة فوق مفصولات اكثر خشونة وعند دخول الماء فان الشد الهيدروليكي سوف يزداد في الطبقات الناعمة وحال وصولها الى حالة الاشباع فان الماء سوف يسبب كسر خلال ليثولوجية الطبقة ذات النسجة الناعمة و غالبا ما يكون الجريان سريا الى الأسفل ومن ثم يسبب انقطاعات ليثولوجية مضغوطه عموديا .

الجدول (7) قيم معامل التجانس Uniformity value لإفاق سلاسل ترب منطقة الدارسة

السلسلة	البيدونات	الإفاق	$\frac{si/fs \text{ in upper}}{si/fs \text{ in lower}} - 1$	$\frac{Csi/fs \text{ in upper}}{Csi/fs \text{ in lower}} - 1$	$\frac{Si + vfs/s - vfs \text{ in upper}}{Si + vfs/s - vfs \text{ in lower}} - 1$
الصنف	P_1	A_{11} / A_{12}	6.05*	-0.79	-0.79
		A_{12} / C_{k1}	-0.87	-0.56	0.02
		C_{k1}/C_{k2}	-0.19	1.69*	300.18*
		المتوسط	1.66	0.11	99.80
الحضر	P_2	A/B_K	0.82*	-0.22	-0.51
		B_K/C_K	-0.30	0.09	0.38
		C_K/ C_y	0.25	5.53*	-0.19
		المتوسط	0.26	1.80	-0.11
صديد	P_3	A /B_K	0.03	-0.49	0.42
		B_K/C_{k1}	1.10*	17.07*	-0.31
		C_{k1}/C_{k2}	-0.52	-0.87	0.39
		المتوسط	0.21	5.24	0.17
الصينية	P_4	A_{11} / A_{12}	1.42*	6.31*	-3.21
		A_{12} / C_{k1}	-0.49	0.27	-2.00
		C_{k1} / C_{k2}	-0.01	0.01	-0.07
		C_{k2}/C_{k3}	0.89*	-0.58	-46.74
		المتوسط	0.45	1.50	-13.01
بريش	P_5	A_p / C_K	-0.48	0.37	-1.33
		C_K / C_1	4.56*	2.12*	-1.58
		C_1 / C_2	-0.70	-0.40	-0.18
		المتوسط	1.13	0.69	-1.03
Asady & Whitesid 1986...(3) القيمة المقترنة للانقطاع الليثولوجي (0.37)			Stwert 1972..(2) القيمة المقترنة (0.8)	Schaetzl 1998...(1) القيمة المقترنة للانقطاع (0.6)	

الغرين الخشن=csi, الرمل الناعم جدا= vfs , الرمل الناعم = fs , غرين= Si

ولتوضيع مكان وعدد الانقطاعات يظهر الجدول (8) عدد انقطاعات افاق سلاسل ترب الدراسة وللمعادلات الثلاثة أذ تقوت المعادلة (3) Asady & Whitesid 1986... في عدد الانقطاعات اذ كانت بمجموع ٦ انقطاعات بينما جاءت المعادلة رقم (2) Stwert 1972.. بالمرتبة الثانية حيث بلغت ٥ انقطاعات أما المعادلة (1) Schaetzl 1998... المعا

تضمنت انقطاع واحد فقط ، وهذا يوضح بأنه ليست بالضرورة ان تكون نتائج قيم المعادلات متساوية عند تطبيقها على تربنا في المناطق الجافة وشبه الجافة ومع هذا أظهرت معادلة رقم ٣ تفوقاً وقيولاً واضحاً يمكن الاعتماد عليهما في تحديد درجة تجانس مواد الأصل .

الجدول (8) يبين عدد الانقطاعات في الافق السطحية وتحت السطحية

رقم المعادلة	الافق تحت السطحية	رقم المعادلة	الافق المشتركة (افق سطحية + افق تحت سطحية)	رقم المعادلة	الافق السطحية	البيو ن	السلسلة
٢,١	C_{k1}/C_{k2}	---	---	٣	A_{11} / A_{12}	P1	الصفا
٢	C_K / C_y			٣	A/B_K	P2	الحضر
---	----	٢,٣	B_K/C_1	----	---	P3	صديد
٢,٣	C_K/C_1	---	----	----	----	P4	الصينية
٣	C_1 / C_2	٣	A_{12} / C_{k1}	١,٢	A_{11} / A_{12}	P5	جريش
٦		٣		٤			عدد الانقطاعات

٤- المصادر

٤-١ المصادر العربية

- الراوي ، مثنى خليل إبراهيم ، (2003). توصيف وتوزيع مواد الأصل لبعض الترب الرسوبيّة وأثرها في صفات الترب . أطروحة دكتوراه ، كلية الزراعة جامعة بغداد .
- البرزنجي، عبد العزيز وقاسم أحمد سليم وبثينة وديع منصور (١٩٨٦). الصفات الفيزيائية والكيميائية والمعdenية للترب الجبسية. موجز بحوث ندوة الترب الجبسية وتأثيرها على المنتجات والزراعة . ٦-٤ تشرين الثاني ١٩٨٦ ، وزارة الزراعة والري ، بغداد، العراق.
- المركز الوطني للموارد المائية (٢٠١٠). خارطة مسح وتصنيف الترب- مشروع شمال تكريت (٢٠٠٢) . مقياس رسم 1:50000 .
- العكيدى، وليد خالد وفاخر رسن الطانى. ٢٠٠٢. توصيف وتصنيف بعض ترب الاهوار في جنوب العراق. مجلة العلوم الزراعية العراقية، ٥٨-٤٧(٥): ٣٣-٣٣.
- البياتى ، محمود احمد لطيف (2010). وراثة وتصنيف الترب الجبسية في حقول كلية الزراعة لجامعة تكريت . رسالة ماجستير ، كلية الزراعة ، جامعة تكريت .
- هزاع، عطا الله حسين (١٩٩١). تأثير الاسمية العضوية والكيميائية في بعض خواص ترب الدور الجبسية وفي نمو وانتاج محصول الدخن. رسالة ماجستير ، قسم التربة، كلية الزراعة، جامعة بغداد.

٤-٢ المصادر الأجنبية

- **Asady. G. H. and E. P. White side. (1986).** composition of conover- Brookston map unit in south eastern Michigan. S. S. S. A. P. 465 (1043-1047).
- **Al – Zubaidi,A.H.(1974).** Chemical Characteristics of some Iraqi Soils Pedology.(19) 1:65-148.
- **Al – Taie, F. (1968).** The soil of Iraq . ph.D. Thesis, University of Ghent Belgium .
- **Barshad, I. (1964).** Chemistry of soil development. P. 1-70.
- **Barshad, I.,(1969) .** Chemistry of soil development . pp. 1-70 . In . E.E. Bear (ed) . Chemistry at the soil . London , Champman and Hall Ltd .

- **Beshay, N. F. and A. S. Sallam. (1995).** Evaluation of some methods for establishing uniformity of profile parent material. Arid Soil Res. & Rehabilitation. 9:63-72.
- **Blake, G. R . (1965)** . Bulk density .In Black et al .(Eds) . Methods of soil analysis , part 1. Agron .9 : 374 – 390 . 1st edition ASA. Madison WI ,USA .
- **Brewer, R.** (1976). Fabric and Mineral Analysis of Soils. John Wiley and Sons, Inc., New York. PP:75-84.
- **Chittleborough, D. J. and J. M. Oades. (1980a).** The development of a red-brown earth. II. Uniformity of the parent material. Aust. J. Soil Res. 18:375-381.
- **Day , P. R . (1965).** Particle fractionation and particle size analysis, Part 1 ,pp. 545-567 . Agron . No,9 , ASA : Madison.
- **Docloux , J. ; Y. Guero and P. Fallavier .(1998)** . Cay partical differentiation in alluvial.
- **Evans, L. J. and W. A. Adams. (1975a).** Quantitative Pedological Studies on soils derived from Silurian mudstones. IV. Uniformity of the parent material and evaluations of internal standards. Jour. Soil Sci. 26:319-326.
- **Hesse, P. R. (1972).** A text book of soil chemical analysis. Chemical publishing Co. Inc., New York. USA.
- **Jackson,M.L., (1958).**Soil Chemical Analaysis . Prentic -Hall Inc. Engle wood , Cliffs , N. J.
- **Jenny, H.** (1941). Factors of soil formation, a system of quantitative pedology. Mc Graw-Hill Book Company Inc. New York and London.
- **Kerr, P.F., (1959).** Optical Mineralogy. McGraw-Hill, NewYork.
- **Milner, H. B.,(1962).**Sedimentary petrography.4th.Ed.Murby and Co. London.
- **Richards,L.A.(Ed.),1954.**Diagnosis and improvement of saline and alkali soils . USDA.HB. No.60.
- **Savant, N. K., (1994).**Simplifed methylene blue method for rapid determination of cation exchange capacity of mineral soils.Soil Sci.plant Anal.25:3357– 3364.
- **Sayegh, A.H., N.A. Khan, P. Khan and J. Ryan. (1978).** Factory affecting Gypsum and cations exchange capacity determination in gypsiferous soils soil Sci. 125: 294-300.
- **Schactzl. R. J. (1998).** lithologic discontinuities in some soil on drumlins. Theory.Detection and applications soil. Vol. 163- (7) : 570-590.

- **Stewart. R. B., V. E. Neal. J. A. Pollok and J.K. syers,** 1977 “Parant material stratigraphy of on Egmont loam profiles Tranaki” newzeland- Aus. J. SOIL. RES. VOL. 15: 177
- **Tueller,P.T.(1987).** Remote Sensing application in arid environments. Remote sensing of Environm.23:143-154.